

# TECHNIKA CIEPLNA

Czasopismo Stowarzyszenia Dozoru Kotłów w Warszawie.  
Oficjalny Organ Polskiego Komitetu Normalizacyjnego dla Spraw Kotłowych.

Redaktor: Inż. techn. JAN KOMARNICKI.

Wydawca: Stowarzyszenie Dozoru Kotłów w Warszawie.

REDAKCJA i ADMINISTRACJA: Warszawa, Chmielna 2, m. 6. Tel. 275-45.

GODZINY BIUROWE: Redakcji—piątki, od 18 do 20, Administracji—codziennie, od 10 do 15.

TREŚĆ: *J. Obrąpalski*, inż. Kilka uwag w sprawie elektryfikacji Polski. — *Prof. Dr. inż. W. Borowicz*. Dysze i kryzy spiętrzające przy pomiarach ilości pary. — *KRONIKA TECHNICZNA*. Wybuch zbiornika w Kielcach. — *KOMUNIKATY STOWARZYSZENIA DOZORU KOTŁÓW w WARSZAWIE*. Zmiana § 45 Statutu Stowarzyszenia.

SOMMAIRE: *J. Obrąpalski*, ing. Quelques réflexions sur l'électrification en Pologne. — *W. Borowicz*, prof. L'application des ajutages pour le mesurément du débit de la vapeur. — *CHRONIQUE*. Une explosion d'un récipient à vapeur à Kielce. — *INFORMATIONS DE LA SOCIÉTÉ*. Une change dans les Statuts de la Société.

JAN OBRĄPALSKI, inż.

## KILKA UWAG W SPRAWIE ELEKTRYFIKACJI POLSKI.

Polska przez długi jeszcze czas pokrywać będzie swoje zapotrzebowanie energii elektrycznej, niestety, prawie wyłącznie z węgla kamiennego. Poza tem przemysł węglowy jest w Polsce największym wytwórcą i spożywcą prądu, a jednocześnie największym odbiorcą maszyn i wyrobów przemysłu elektrotechnicznego. Już

TABELA I.

	Moc elek- trowni kW	Spożycie energii kWh	Wydoby- cie miljon. t	Spożycie kWh/t
Górny Śląsk	199.245	411.720.050	26,63	15,4
Zagł. Dąbrowskie	44.625	103.306.000	7,42	14,0
„ Krakowskie	23.828	36.664.000	2,05	18,3
	266.698	551.690.050	36,10	15,3

TABELA II.

Rodzaj maszyn	Razem			Górny Śląsk		Zagł. Dąbrowskie		Zagł. Krakowskie	
	Parowe KM	Elektr. KM	%	Parowe KM	Elektr. KM	Parowe KM	Elektr. KM	Parowe KM	Elektr. KM
Pompy . . . . .	46.621	169.130	81	18.995	126.729	16.653	29.596	6.973	12.805
Wyciągi . . . . .	92.214	41.960	32	76.325	31.748	13.373	9.023	4.516	1.189
Sprężarki . . . . .	81.033	46.424	36	73.276	37.290	2.577	5.342	5.180	3.892
Wentylatory. . . . .	2.013	15.267	89	1.943	11.932	70	2.354	—	981
Inne. . . . .	35.593	132.281	79	20.076	122.209	5.665	8.250	852	1.822
Razem . . . . .	253.474	405.162	—	199.615	329.908	36.338	54.565	17.521	20.689
% zelektryfikowania . . .		61,5		62,5		60		57	

w r. 1923 moc zainstalowana w elektrowniach kopalnianych, spożycie prądu kWh przez kopalnie, produkcja węgla i spożycie prądu na 1 tonę wydobytego węgla osiągały cyfry podane w tabeli 1. Tabela ta nie zawiera części mocy elektrowni w Chorzowie, przypadającej na potrzeby ok. 28 przyłączonych kopalń; moc tę szacuje na ok 40000 kWh.

Stopień zelektryfikowania kopalń polskich widoczny jest z tabeli II, zawierającej moc zainstalowanych silników parowych i elektrycznych w 1926 roku.

Z tabeli tej widać, że najmniej zelektryfikowane są wyciągi i sprężarki. Elektryfikację wyciągów niezawodnie wstrzymała wojna i jej skutki gospodarcze. Gdyby nie to, utrzymywanie

w ruchu tych „pożeraczy pary“, pracujących w większości wypadków jeszcze na wydmuch i spożywających po 40 kg pary na użytkowego konia szybowego i godzinę, napewno byłyby w szybkim tempie zlikwidowane; prócz tego ostatnie zwłaszcza lata coraz częściej zadają kłam utartemu twierdzeniu o pewności ruchu i „nieśmiertelności“ maszyn wyciągowych, parowych, bo oto na kopalni A po 30 latach pracy pękł główny wał średnicy 400 mm, na kopalni B w ciągu dwóch lat dwukrotnie pękło tłoczysko grubości 200 mm na klinie w krzyżulcu, na szybie C wskutek wody w cylindrze pękła rama bagnetowa, na kilku innych szybach wskutek niedostatecznego opanowania i zautomatyzowania sterowania maszyny klatka wyjechała do wieży pociągając za sobą straty materialne i przerwę w wydobywaniu. Przyczyną niewielkiego stopnia zelektryfikowania kompresorów jest głównie ta okoliczność, że wytwarzanie sprężonego powietrza jest zwykle scentralizowane w pobliżu głównej kotłowni i proces wytwarzania na drodze turbina-kompresor jest tańszy i pod względem kosztów instalacji i kosztów ruchu od procesu na drodze turbina—prądnic—silnik—kompresor; dopiero przy większych odległościach przenoszenia energii proces ostatni może się opłacać.

Tabela II daje przybliżoną pojemność rynku elektrycznego w kopalnictwie węglem t. j. moc silników elektrycznych, które w najbliższej przyszłości przy pomyślnych koniunkturach będą mogły zastąpić przestarzałe maszyny parowe, ruch taki rozpoczął się już obecnie przedewszystkiem dla kolejek piaskowych. Na pojemność tę składają się jeszcze silniki nowe, które zastępują stare zniszczone i których ilość szacują na 1%—2%, rocznie oraz silniki dla urządzeń nowych, uzależnionych od rozwoju kopalń.

TABELA III.

K o p a l n i e	Ogółem	Górny Śląsk	Zagł. Dąbr.	Zagł. Krak.
Brały prąd z elektrowni obcych.	55	39	10	6
W tem z okręgowych . . . . .	32	28	2	2
„ „ z innych . . . . .	23	11	8	4
Wytwarzały prąd same . . . . .	32	18	9	5
W tem pracowały równoległe z inemi . . . . .	15	11	3	1
W tem pracowały osobno . . . . .	17	7	6	4
Ilość elektrowni okręgowych . . . . .	4	2	1	1
Moc elektrowni okręg., tys. kW.	141	109	22	10

Tabela III ilustruje sposoby pokrycia zapotrzebowania prądu przez kopalnie, jak również charakter pracy zakładów wytwórczych; widać z niej, że 1) stopień scentralizowania wytwarzania energii jest znaczny, gdyż 55 kopalń brało prąd z zewnątrz, a w tem 28 kopalń z jednego Chorzowa, i 2) spółdzielnia elektrowni jest również zapoczątkowane, gdyż 15 elektrowni pracowało lub mogło pracować równoległe z inemi.

TABELA IV.

Moc zainstalowana i obciążenie elektrowni powyżej 5000 kW w zagłębiach węglowych.	Generatory	Kotły	Woda	Obciążenie
Górny Śląsk	343.000	300.000	280.000	180.000
Zagłębie Dąbrowskie	64.000	62.000	53.000	26.000
Zagłębie Krakowskie	44.000	36.000	30.000	15.000
Razem	451.000	398.000	363.000	221.000

Niestety współpraca ta nie była jeszcze należycie zorganizowana, czego dowodzą liczby tabeli IV, gdzie dla elektrowni o mocy generatorów powyżej 5000 kW (nie tylko kopalnianych) podana jest zainstalowana i osiągalna moc generatorów, kotłów i urządzeń dostarczających wodę do kondensatorów, z drugiej zaś strony największe trwałe obciążenia.

Z tabeli tej widać, że najmniejsza osiągalna moc sumaryczna elektrowni (363000 kW) przekracza o 65% zapotrzebowanie, gdy w rzeczywistości wszystkie prawie poszczególne elektrownie obciążone są prawie do ostateczności. Wypływa to głównie z nieskoordynowania w poszczególnych zakładach wielkości poszczególnych elementów instalacji (jednemu brak kotłów, drugiemu wody do kondensacji i t. d.), częściowo zaś ze skażenia obrazu przez obciążenie statystyki starymi gratami powyżej 15 lat, stanowiącymi już tylko rezerwy cenne choć nieekonomiczne i nienadające się do dłuższej niezawodnej pracy. Takich inwalidów jest w generatorach ok. 110000 kW, w kotłach ok. 100000 kW, czyli po wprowadzeniu tej poprawki otrzymujemy następujące moce sumaryczne urządzeń wieku 15 lat i mniej:

generatory	kotły	woda	obciążenie
340000	300000	363000	221000 kW

Pozostała jeszcze dysproporcja ma źródło, powtarzam, w braku zorganizowanej wspólnej gospodarki, przy istnieniu której możnaby jeszcze swobodnie bez wydatków inwestycyjnych podnieść zdolność wytwórczą o jakieś 80000 kW. Smutna rzeczywistość ostatniego roku tezę moją potwierdza: nie tylko zapotrzebowania 15000 kW dla przemysłu chemicznego, lecz nawet 5000 kW zakłady nie mogły pokryć bez znacznych inwestycji. Tabela V podaje wiek generatorów i kotłów zainstalowanych w owych większych elektrowniach zagłębi węglowych.

Tak sprawy stały w końcu roku 1927, gdy rozwijający się silnie przemysł chemiczny, (azotownie, cynk) zażądał ok 30000 kW. Skłonić właścicieli poszczególnych elektrowni do „pracy równoległej“ trudniej jest znacznie, niż poczciwe maszyny, co wiem z własnego doświadczenia, to też sprawy poszły w kierunku najprostszym, najprędszym i dla kraju może najkorzystniejszym: rozpoczęto budowę wielkiej nowoczesnej siłowni w Górnych Łaziskach. W Łaziskach po raz pierwszy zastosowane będzie w wielkim stylu opalanie kotłów pyłem węglowym.

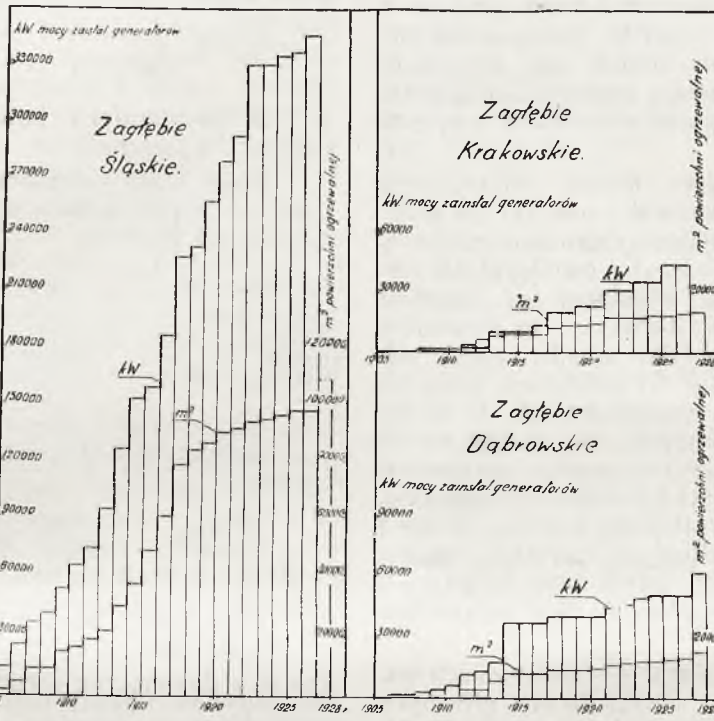
wym (4 kotły po 1100 m<sup>2</sup>), po raz pierwszy stanał turbozespoły po 40000 kVA, 28000 kW, poraz pierwszy przyłączone będą do sieci 60 kV 2 transformatory trójfazowe po 40000 kVA i kilka po 20000 kVA. Jest to duży krok naprzód, wprowadzający nas do gospodarki elektrycznej światowej w wielkim stylu.

Jednocześnie i inne zagłębia ujawniają żywe ambicje prądotwórcze. Kopalnie Jaworznickie podejmują dostawę prądu do Krakowa (60 kV, 60 km). W zagłębin Dąbrowskim tworzy się Związek Elektrowni Kopalnianych, o mocy zainstalowanej 60000 kW, Elektrownia Okręgowa w Sosnowcu rozpoczyna dostawę prądu na całej przestrzeni przemysłowej od Sosnowca do Częstochowy (35 kV, 80 km), a zapotrzebowanie prądu rośnie tu tak szybko, że moc jej własna nie wystarcza i zawiera ona umowy z okolicznymi kopalniami o jego dostawę.

W innych częściach kraju (Warszawa, Łódź, Poznań, Gródek, Kielce i t. d.) rozwój elektrowni i linii dalekonośnych przyspiesza również znacznie tempa, podążając za ogólnym rozwojem życia przemysłowego. Przy tych koniunkturach uważam, że sytuacja dojrzała w zupełności do ukoronowania tego ruchu elektryfikacyjnego, do

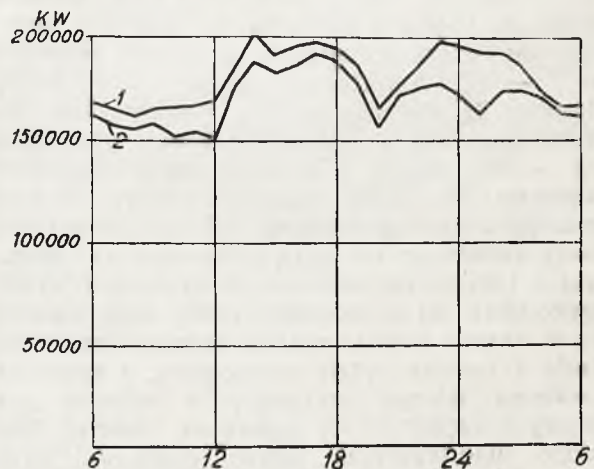
wego i letniego (rys. 1) potrzebne moce można zupełnie wyraźnie podzielić na moce podstawowe o czasie użytkowania w roku ok. 5500 godzin, wynoszące dla Warszawy 12000 kW i dla Łodzi 12000 kW, oraz na moce szczytowe, wynoszące dla Warszawy 18000 kW przez 780 godzin i dla Łodzi 11000 kW przez 1300 godzin. Oczywiście są to ilości przybliżone, które mogły być oszacowane na zasadzie posiadanego skromnego materiału statystycznego. Wielkości te do czasu urzeczywistnienia projektów połączeń (2—3 lat) zapewne wzrosną; dla Warszawy do 18000 lub 25000 kW i dla Łodzi do 18000 lub 16000 kW, a jeżeli dodać część prądu dla tramwajów, to linja dalekonośna zasilająca te miasta prądem podstawowym prowadziłaby już od początku moc ok. 40000 kW przez

TABELA V.

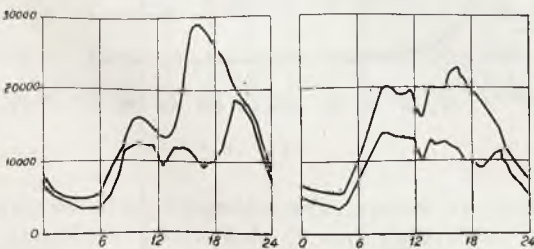


5500 g. w roku. Pokrycie tego prądu podstawowego o dużym stopniu wyzyskania wydaje mi

5500 g. w roku. Pokrycie tego prądu podstawowego o dużym stopniu wyzyskania wydaje mi



Rys. 2. Krzywa obciążenia 32 elektrowni powyżej 5000 kW mocy zainstalowanej.



Rys. 1. Krzywa obciążenia elektrowni miejskich w Warszawie i w Łodzi.

stworzenia linii dalekonośnych międzydzielnicowych, podziału ról przy pokrywaniu obciążenia podstawowych i szczytowych, wreszcie utrzymywania wspólnych rezerw.

Jak widać z krzywych obciążenia elektrowni miejskich w Warszawie i Łodzi dla dnia zimo-

się najwłaściwszym z tanio produkujących dużych elektrowni zagłębia węglowego.

Rys. 2 przedstawia krzywa obciążenia 32 elektrowni (ponad 5000 kW) Zagłębia węglowego krzywa 1 oznacza obciążenie zimowe, krzywa 2 — obciążenie letnie.

Koszt produkcji elektrowni publicznych i prywatnych traktowany jest u nas jako tajemnica handlowa i dlatego panują o nim przesadne i śmieszne pojęcia. Piszącego te słowa odwiedził w roku zeszłym w sprawie nabycia prądu elektrycznego pewien inżynier z centralnych okręgów przemysłowych, którego poinformowano „w Warszawie“, że tu można kupić prąd po 1 groszu obiegowym za 1  $kWh$ ! Jednocześnie słyszy się, zwłaszcza na arenie rad miejskich, głosy świętego oburzenia z powodu „niesprawiedliwego“ wyceniania prądu dla światła i dużych mocy.

Elementy składowe kosztu ostatecznego prądu dla światła zilustrował i obliczył na przykładzie inż. Lulofs, dyrektor elektrowni miejskiej w Amsterdamie, spolszczył i przeliczył dla naszych warunków inż. Altenberg na Zjeździe Związku Elektrowni w Toruniu. Do wywodów jego dodać chcę jedną tylko zasadę: każdy odbiorca powinien dostać od elektrowni prąd taniej niż sam go może wyprodukować. O ile by różni doktrynerzy próbowali nie godzić się na naukową klasyfikację i obciążanie spóżywców prądu według wielkości i rodzaju ich spóżywania, o argument ten, wyrażający zwykłą życiową zasadę, iż nikt przy zdrowych zmysłach nie będzie za nic przepłacał, jeżeli może to gdzieś indziej nabyć taniej — powinien ich ostatecznie rozbroić.

Koszt produkcji prądu w elektrowniach kopalnianych składa się z następujących głównych czynników: 1) kosztu kapitału, amortyzacji, naprawy i części zapasowych, obsługi i pensji urzędniczych, podatków, świadczeń socjalnych i t. d. 2) kosztu paliwa, materiałów potrzebnych do biegu jak smary, czystościwo i t. d., wreszcie wody do kotłów i kondensacji. Kapitały inwestycyjne uzyskuje obecnie przemysł prywatny za 7 — 8%. Amortyzację przyjęto liczyć dla budynków 2%, dla maszyn 8,5%, ponieważ zaś budynki stanowią w całkowitym koszcie elektrowni 25 — 33%, średnio więc amortyzacja elektrowni wyniesie 7%; jeżeli zważyć, że kotły i turbiny pracują z powodzeniem do 15 lat i że przytem kotły zasadniczo nie tracą z wiekiem na sprawności, turbiny zaś zależnie od systemu i jakości wykonania od 10 do 20%, jeżeli dalej zważyć, że w okresie piętnastoletnim znaczna ilość części kotła i turbiny będzie wymieniona, a koszt odnowienia takiego wykazary w rubryce „naprawy i części“ — to spokojnie można brać stopę amortyzacyjną całych elektrowni parowych 6%.

Naprawa iczęść i zapasowe wynoszą średnio 2%, obsługa i pensje 2% (dla Warszawy i Łodzi 3%), smary i czystościwo 0,5, podatki i świadczenia i t. d. 3%.

Suma tych wszystkich składników, zależnych prawie wyłącznie od mocy elektrowni, wynosi więc ok 21% od całkowitego kosztu elektrowni.

Koszt całej elektrowni składa się średnio z następujących czynników:

budynki	25%
kotły	24% (wzrastają wraz z wzrostem elektrowni)
turbiny	26% (spadają wraz z wzrostem elektrowni)
rurociągi	6%
chłodnie	3%
dowóz węgla	6%
rozdzielnia i transformat.	10%
	100%

W tem kotły i turbiny stanowią połowę kosztów ogólnych.

Koszt kotła stromurowego z ekonomizerem i rusztem z podmuchiem wynosi w przybliżeniu zależnie od wielkości

dla powierzchni	400	500	700	1000	<i>m</i>
parę na godz.	14	18	25	36	<i>tn</i>
dla mocy	2000	3000	4200	6000	<i>kW</i>
ogółem	230000	300000	420000	570000	zł.
czyli na 1 <i>kW</i>	115	100	100	95	zł.

Obmurowanie i montaż kosztują ok 25%.

Koszta turbogenerators jednoosłonowego wynosi:

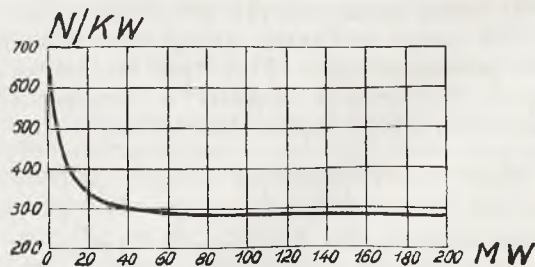
dla mocy	2000	5000	10000	<i>kW</i>
ogółem	280000	420000	700000	zł.
czyli na 1 <i>kW</i>	140	84	70	zł.

Fundament, montaż i cło kosztuje ok 10%

Jeżeli obliczyć sumarycznie koszt całej elektrowni z dostateczną rezerwą, to:

dla mocy użytkowej elektrowni	4000	10000	20000	<i>kW</i>
otrzymamy koszt 1 <i>kW</i> ok.	1100	750	650	zł.

Brown Boveri podaje na zasadzie doświadczeń na Zachodzie dla podobnych mocy koszt, przeliczony na złote 1200, 850, 730 zł. czyli ok. 10%



Rys. 3.

więcej, co wobec niewiadomego sposobu ustalenia użytecznej mocy elektrowni i stopnia rezerw należy uznać za wynik bardzo zbliżony, można więc posługiwać się wyrazem empirycznym przez niego podanym z odpowiednią poprawką dla naszych warunków:

$$A = (1,9 - 2,1) \left[ 265,5 + \frac{1468,5}{MW} - \frac{1134}{MW^2} \right] \text{zł}/kW$$

gdzie *MW* oznacza moc użytkową elektrowni w megawattach (rys. 3).

Krzywa powyższa szybko opada aż do mocy ok. 20000 kW, od 60000 kW pozostaje prawie prostą linią poziomą; na górnej połowie części opadającej leży większość elektrowni kopalnianych (5000—10000 kW), z kosztem jednostkowym średnio 900 zł/kW, na części poziomej leżą wielkie siłownie okręgowe z kosztem 560 zł/kW. Koszt obsługi łatwy jest w elektrowniach kopalnianych do obliczenia, trudniej natomiast ująć część kosztów ogólnych, zawierających świadczenia pośrednie, administrację i różne wydatki, obciążające nie tylko ruch elektrowni lecz przede wszystkim ruch całej kopalni; do nich należą: utrzymanie domów, ogrodów, dróg, szkół, pomoc lekarska i kasa chorych, węgiel opałowy, urlopy, wypadki nieszczęśliwe, ubezpieczenia, podatki, wreszcie administracja ogólna, dyrekcja, rada zarządzająca. Niektóre z nich obciążają elektrownię w stosunku do ilości pracujących robotników, reszta w stosunku do wydatków eksploatacyjnych; pierwsze szacują na 25%, drugie 75%, czyli ogółem 100% wypłaconej robocizny.

Przy sprzedaży prądu przez elektrownię kopalnianą opłaca ona patent oraz podatek obrotowy 2,5%. Ponieważ obrót elektrowni 10000 kW przy 5000 godzin użytkowania i 5 groszach za kWh wynosi ok 30% wartości elektrowni, to w stosunku do niej podatek ten stanowi niecały 1%.

Wodę do kondensacji otrzymują elektrownie od pomp dołowych kopalnianych, kosztu jej więc można nie brać w rachubę.

Węgiel spalony pod kotłami obliczony być powinien po cenie sprzedaznej. Spżycie węgla zależy od sprawności kotłów i turbin i od stopnia ich wyzyskania. Czynniki te dla lepszych elektrowni kopalnianych i wielkich siłowni nowoczesnych są następujące:

BILANS CIEPLNY.

	Moc elektrowni					
	ok. 10000 kW			ok. 50000 kW		
	Rozchód ciepła w %					
	jałowy	dotat-kowy	całko-wity	jałowy	dotat-kowy	całko-wity
<b>Kocioł</b>						
doprowadzono	12	88	100	11	89	100
wzięto			74			80
<b>Rurociągi</b>						
doprowadzono	0,3	73,7	74	0,1	79,9	80
wzięto			73,7			79,9
<b>Turbina</b>						
doprowadzono	9,5	64,2	73,7	8	71,9	79,9
wzięto			14			18,4
<b>Rozdzielnia</b>						
doprowadzono	0,1	13,9	14	0,08	18,32	18,4
wzięto			13,9			18,32
<b>Ogółem</b>						
doprowadzono	21,9	78,1	100	19,18	80,82	100
wzięto			13,9			18,32

albo w kalorjach doprowadzono	1350	4830	6180	900	3800	4700
wzięto			860			860
albo w węglu 5000 kcal/kg	0,27	0,96	1,23	0,18	0,76	0,94
7000	0,193	0,69	0,88	0,128	0,54	0,67

W tabeli powyższej przyjęto:

sprawność kotła	74	80%
straty na 1 m <sup>2</sup> rurociągu i godz. 1000		1000 kcal/m <sup>2</sup> /godz.
sprawność turbogeneratorsa netto	19	23%
albo spżycie pary netto	6,5	5,4 kg/kWh
potrzeby różne drobne	0,75	0,4%

Wyrazy dla spżycia ciepła w zależności od rocznego wyzyskania mocy *n* i czasu pracy jednakowych maszyn *f* (Klingenberga)

$$Q = 1350 \frac{f}{n} + 4830 \quad Q = 900 \frac{f}{n} + 3800, \text{ w kcal/kWh}$$

Jeżeli stale pracują wszystkie maszyny, to *f* = 1, dla elektrowni szczytowych (*T* < 2000 g) zakładam *f* = 0,4, dla *T* = 4000 g — *f* = 0,7.

Koszt 1 kWh przy cenie węgla w gr za 1000 kcal i wyzyskaniu *n* wyniesie w groszach

$$a = 21 \cdot A \frac{1}{n \cdot 8760} + k (1,35 \frac{f}{n} + 4,83) \cdot W - \text{ dla el-ni małej,}$$

$$a = 21 \cdot A \frac{1}{n \cdot 8760} + k \cdot (0,9 \frac{f}{n} + 3,8) \cdot W - \text{ dla el-ni dużej.}$$

Sprawność kotła założona była dla węgla-miału o wartości opałowej 6000 kcal, (*k* = 1), dla wyższej lub niższej wartości węgla podnoszę lub obniżam sprawność ok. 1% na każde 500 kcal, czyli przyjmuję w przybliżeniu dla węgla 7000 kcal i 5000 kcal *k* = 0,97 i — 1,02.

Dla miału 6000 kcal, 5000 kcal i orzecha II 7000 kcal obliczamy niżej podany koszt 1000 kcal w groszach dla Śląska i Warszawy, dodając na wyładunek, kosztu dodatkowe itd. zł. 2,5 na tonę, a przy miałe ponadto 10% na straty magazynowania.

Orzech II 7000 kcal.

cena w kopalni	zł. 27,	czyli za 1000 kcal gr. 0,39
przewóz	15,20	
wyładunek i kosztu	2,50	
	44,70,	czyli za 1000 kcal gr. 0,642

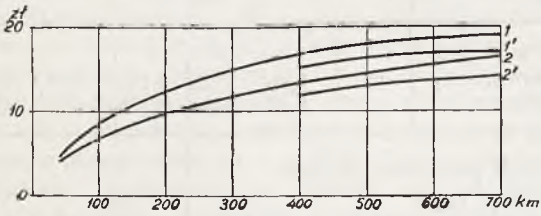
miał 6000 kcal.

na kopalni	zł. 11,	czyli za 1000 kcal gr. 0,184
w Warszawie	28,	„ „ 1000 „ gr. 0,462

miał 5000 kcal.

na kopalni	zł. 5,	czyli za 1000 kcal gr. 0,1
w Warszawie	21,	„ „ 1000 „ gr. 0,42

Koszt przewozu podają krzywe poniższe (rys. 4).

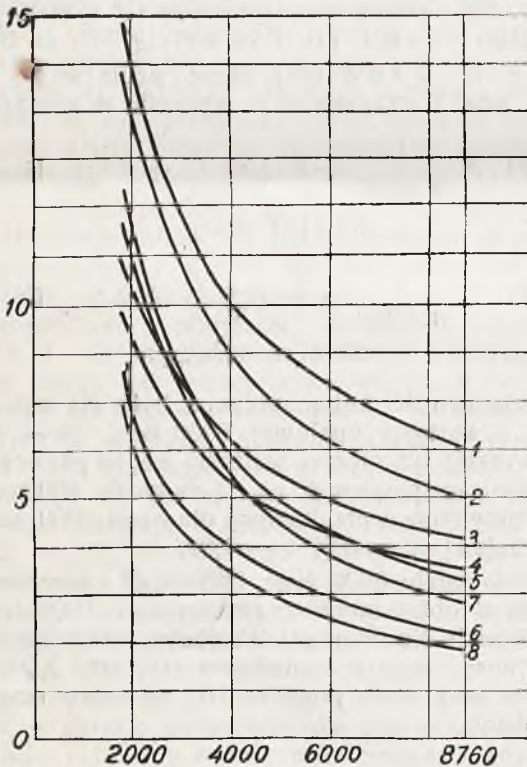


Rys. 4. Koszt przewozu węgla.

Dla małej elektrowni w Warszawie, opalanej orzechem, obliczam koszt 1 kWh przy  $n=0,456$  (czyli  $T=4000$  g) i  $f=0,7$  jak następuje

$$a = 21 \cdot 900 : 4000 + 0,98 (1,35 \cdot 0,7 : 0,456 + 4,83) \cdot 0,642 = 9,15 \text{ gr/kWh}$$

obliczone w ten sposób wielkości podane są na rys. 5, na którym krzywe oznaczają



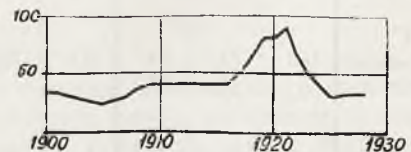
Rys. 5. Koszt 1 kWh.

1	mała elektrownia w Warszawie opalana orzechem	7000 kcal
2	" " " " miałem 6000 "	"
3	duża " " " orzechem 7000 "	"
4	" " " " " miałem 6000 "	"
5	mała " w Zagłębiu " " 6000 "	"
6	duża " " " " 6000 "	"
7	mała " " " " 5000 "	"
8	duża " " " " 5000 "	"

W kosztach powyższych całkowitych część zależna bezpośrednio lub pośrednio od zainwestowanego kapitału wynosi na 1 kWh

przy użytkowaniu w roku godzin	2000	4000	6000	8760
dla małej elektrowni gr.	9,45	4,72	3,15	2,16
" dużej " "	5,9	2,95	2,0	1,35

Z porównania powyższego widać, że 1) opalanie miałem jest bardzo korzystne dzięki niskiej jego cenie, 2) pomiędzy kosztem 1 kWh w dużych elektrowniach w Warszawie (4) i na kopalni (6) istnieje różnica w wysokości ok. 1,5 gr. przy miałe 11 zł/t i 2 gr przy spalaniu na kopalni miała najgorszego (3) w cenie 5 zł/t. 3) pomiędzy kosztem 1 kWh wytwarzanej na kopalni z takiego miała w elektrowniach małych (7) i dużych (8) różnica wynosi ok. 1,5 gr. Cena sprzedaży z elektrowni małych kopalnianych wynosiła do niedawna dla obiektów (1000—2000) kW przy użytkowaniu ok. 6000 g. w roku 4 do 6 groszy. W chwili obecnej znane mi są transakcje po cenach 2,5 do 3 groszy; o ile dla elektrowni dużych i dużego wyzyskania są to ceny zupełnie dostateczne, o tyle dla małych można je osiągnąć tylko drogą sztucznej kalkulacji: 1) obniżając nadmiernie cenę miała, który wskutek złej konjunktury węglowej nie znajduje kupców i spala się na zwalchach, lub 2) nie licząc kosztów amortyzacji starszych urządzeń i % od kapitału pod pretekstem iż „maszyny są dawno zamortyzowane” (a gdzie są te pieniądze odłożone?), a akcjonariusz zadowolony się dywidendą, choćby kapitał, włożony w tę część inwestycji kopalnianych należycie nie był opłacony. Taka sprzedaż ma wszelkie cechy krótkotrwałej „wypzedaży sezonowej” i musi, moim zdaniem, z czasem doprowadzić jedynie do likwidacji małych elektrowni lokalnych, gdyż przy lepszych cokolwiek konjunkturach węglowych lub potrzebie większych inwestycji w tych elektrowniach uchybienia w kalkulacji dadzą się bardzo wyraźnie i boleśnie we znaki, a dalszą dostawę prądu po niskich cenach będą mogły prowadzić dalej tylko elektrownie nowoczesne, duże. Stosunek ceny miała do grubego od r. 1900 do chwili obecnej podaje następujący wykres; stosunek ten jest poniekąd miarą konjunktury węglowej (rys 6).



Rys. 6. Stosunek cen miała i grubego węgla.

Dla porównania obliczymy teraz, ile kosztowałyby prąd z sił wodnych, który pono jest najtańszy. Polska nie rozporządza w tych siłach bardzo dużymi mocami i dużymi spadkami to też można liczyć, że zainstalowany 1 kW będzie tu kosztował najmniej 2000 zł. Jeżeli wynosi:

koszt kapitału	8 %
amortyzacja	3 %
naprawa i materiały	1,5%
obsługa	0,5%
razem	15 %

Koszt kapitału, obsługa i naprawy 0,12 . A zł.

Warunek rentowności będzie:

$$30000 \cdot 5500 \cdot 0,02 > 0,12 \cdot A + 750000$$

$$\text{skąd } A < 21 \text{ mil. zł.}$$

to koszt produkcji zależny bezpośrednio lub pośrednio od kapitału wyniesie 300 zł. rocznie lub przy użytkowaniu w ciągu roku:

godzin	2000	4000	6000	8760
gr/kWh	15	7,5	5	3.42

Widzimy, że ceny te leżą znacznie powyżej cen osiągalnych z węgla. Pozostało obecnie jeszcze pytanie: czy koszt przenoszenia energii elektrycznej z Zagłębia Węglowego do Warszawy, Łodzi i t. d. opłaca się. Ponieważ nie mam jeszcze pod ręką dostatecznych danych dla obliczenia kosztów linii 220 kV, a takie napięcie dla „polskiej szyny zbiorczej“ zapewne będzie wybrane, postaram się rozwiązać pytanie inaczej, a mianowicie: jaki może być maksymalny koszt linii przesyłowej Zagłębie-Warszawa, aby przy przesyłaniu 30000 kW przez 5500 godzin w roku i cos φ — 0,8 koszt przesyłania nie przekroczył oszczędności, osiągniętych przez wytwarzanie prądu przy kopalni?

Dla obliczenia tego robię następujące założenia:

1. koszt prądu loco elektrownia liczę 3 gr.
2. amortyzację linii 2%, stacji 6%, średnio 2,5%.
3. straty w miedzi przy  $T = 5500$  godzin wyniosą 60% strat pełnego obciążenia.
4. straty koronowe wyniosą 1 kW/km
5. straty biegu jałowego i miedzi wyniosą dla każdego transformatora po 1,0%
6. koszt obsługi i napraw wynosi 1,5% od wartości urządzeń.
7. różnica kosztu wytwarzania w Warszawie i na kopalni 2 i 3 grosze na 1 kWh.

#### Straty mocy

największa strata w linii i transformatorach 13%—3900 kW	
stała strata koronowa $1 \times 320$	320
razem straty mocy	4220 kW

#### Koszty instalacji

320 km przewodu, 2 stacje końcowe i 6 pośrednich A zł.

#### Koszt strat

bieg jałowy transformator. $30000 \cdot 0,02 \cdot 8760 =$	5,2 mil. kWh
straty w miedzi " $5,2 \cdot 0,6$	= 3,1 " "
korona $320 \cdot 8760$	= 2,8 " "
straty w linii $30000 \cdot 0,09 \cdot 0,6 \cdot 8760$	= 14,0 " "
Ogółem (15%)	25,1 mil. kWh
	$\times 0,03$
	750000 zł.

Jeżeli oszczędność na wytwarzaniu prądu wyniesie nie 2 lecz 3 grosze na 1 kWh, wskutek tego, że Warszawa pali częściowo orzechem i że w rachunku pominięto kilka dodatkowych kosztów elektrowni wielkowiejskiej, to:

$$A < 35 \text{ mil. zł.}$$

W pierwszym wypadku koszt linii i stacji nie powinien przekraczać 700 zł, w drugim 1170 zł. na 1 kWh przenoszony.

Koszt nowoczesnej linii 220 kV dla przeniesienia 100000 kW na odległość 500 km ma wynosić według E. u. M., 1928, str. 605 ok. 55 mil. zł. czyli ok. 550 zł. na 1 kWh, a przy odległości 320 km ok. 350 zł, a po uwzględnieniu kosztu stacji transformatorowych i pośrednich ok. 450 zł. Przy naszych mniejszych mocach koszt będzie stosunkowo większy, jednak utrzyma się zapewne nawet poniżej dolnej granicy. Kierunek tej części polskiej szyny zbiorczej wyobrażam sobie z Zagłębia Węglowego 1) przez Częstochowę, Łódź do Warszawy i 2) przez Kielce, Radom do Warszawy. Stworzenie jej przyspieszyłoby elektryfikację wielu dzielnic, pozwoliłoby na obniżenie kosztów wytwarzania przez wyrównywanie obciążeń i przez stworzenie warunków swobodniejszej konkurencji wytwórców.

Rozwinięta dalej szyna zbiorcza powołałaby do współpracy inne nasze źródła energii jak gazy ziemne, wodę, węgle brunatne, moze i torfy.

Szynę taką posiadają już Niemcy, Czesi nie wahają się zasilać swojej stolicy prądem z nad samej granicy niemieckiej, stwarzając mu jednocześnie odpowiednie przeciwwagi. Dla uniknięcia wprowadzania monopolów i przywilejów dla większych grup elektryfikacyjnych Państwo powinno budowę szyny rozpocząć samo, lub w organizacji mieszanej zapewnić sobie wpływ na leżny.

W najbliższej przyszłości podam przybliżony koszt takiej linii okrężnej.

Prof. Dr. inż. W. BOROWICZ, Lwów.

## DYSZE i KRYZY SPIĘTRZAJĄCE PRZY POMIARACH IŁOŚCI PARY.

(por. *Technika Ciepłna*, 1928, str. 168).

Jeżeli przy pomiarach ilości pary nie kładziemy specjalnego nacisku na dokładność pomiarów, możemy używać następujących wzorów przybliżonych:

1) Dla wyptywu pary nasyconej:

Wyraz  $\sqrt{\frac{p_1}{v_1}}$  wzrasta prawie w prostym

stosunku do  $p_1$ ,

i z tego powodu możemy napisać:

$$\sqrt{\frac{p_1}{v_1}} \approx c \cdot p_1$$

albo

$$c = \frac{\sqrt{\frac{p_1}{v_1}}}{p_1} = \frac{1}{\sqrt{p_1 v_1}}$$

Tabela liczbowa 5

$p_1$ at. abs	1	2	5	10	15	20
$\sqrt{\frac{p_1}{v_1}}$	0,762	1,491	3,64	7,09	10,5	13,9
$c$	0,762	0,746	0,728	0,709	0,70	0,695

Dla przybliżonych obliczeń możemy wobec tego użyć wzoru:

$$\frac{G}{F} = x \sqrt{\frac{p_1}{v_1}} = c x \cdot p_1$$

Dla  $\frac{p_2}{p_1} < 0,577$  i  $x = 20,55$  wstawimy

średnią wartość  $c$  z tabeli liczbowej 5:

$$c = 0,73$$

i otrzymujemy\*):

$$\frac{G}{F} \approx 0,73 \cdot 20,55 p_1 \approx 15 \cdot p_1 \quad (19)$$

mierzac  $G$  w  $kg/sec$ ,  $F$  w  $cm^2$  i  $p_1$  w  $kg/cm^2$ , albo

$$\frac{G}{F} \approx 0,73 \cdot 0,716 \cdot p_1 = 0,522 \cdot p_1 \quad (20)$$

mierzac  $G$  w  $kg/godz$ ,  $F$  w  $mm^2$  i  $p_1$  w  $kg/cm^2$ .

\*) E. Höhn, Schweizer. Verein von Dampf-Kesselbesitzern. 1920.

2) Dla wyptywu pary przegrzanej.

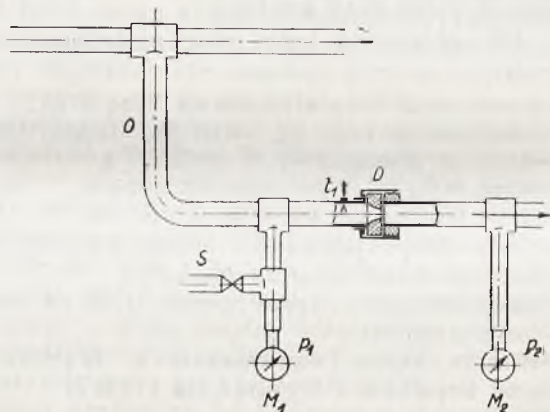
oraz  $\frac{F_2}{p_1} > 0,5457$  znamy wzór\*\*) przybliżony

$$G = 120 \cdot d^2 \sqrt{\frac{p_1 - p_2}{v}} \text{ kg/godz} \quad (21)$$

gdzie  $d$  w  $cm$ ,  $p$  w  $kg/cm^2$ ,  $v$  w  $m^3/kg$ .  
Dla  $p_1 = 9$  ata i  $p_1 - p_2 < 0,15$   $kg/cm^2$  dokładność w obliczeniu  $G$  wynosi około 1,2%.

Przykład.

Z rurociągu  $R$  (rys. 15) pobieramy parę przez odgałęzienie  $O$  i zamierzamy ilość jej zmierzyć zapomocą otworu  $D$ . Przed otworem mie-



Rys. 15.

rzymy ciśnienie  $p_1$  i temperaturę  $t_1$ , za otworem ciśnienie  $p_2$ . Zawór  $S$  służy do odpuszczania skroplin przed otworem.  $D = 0,45$   $cm$ ,  $F = = 0,159$   $cm^2$ .

a. Para nasycona,  $x = 1$ .

$$p_1 = 12 \text{ ata}, v_1 = 0,1668 \text{ m}^3/kg.$$

Według wzoru (19):

$$G = 15 \cdot F \cdot p_1 = 15 \cdot 0,159 \cdot 12 = = 28,699 \text{ g|sec.} = 103 \text{ kg|godz.}$$

Według dokładnego wzoru (13):

$$G = x \cdot F \cdot \sqrt{\frac{p_1}{v_1}} = 20,55 \cdot 0,159 = = \sqrt{\frac{21}{0,1688}} = 27,55 \text{ g|sec.}$$

\*\*) BBC Mitteilungen, 1916, str. 184.



Dokładność obliczenia zapomocą wzoru przybliżonego:

$$\frac{28,69 - 27,55}{27,55} \cdot 100 = 4,14\%$$

b. Para przegrzana.

$$p_1 = 12 \text{ ata}, t_1 = 350^\circ \text{ C}, v_1 = 0,2388, m^3/kg.$$

$$p_2 = 5 \text{ ata}.$$

$$\frac{p_2}{p_1} = \frac{5}{12} = 0,416 < 0,5457, \text{ wobec tego}$$

$$\kappa = \text{const} = 20,56$$

Używamy wzoru (13):

$$G = 20,56 \cdot F \cdot \sqrt{\frac{p_1}{v_1}} = 20,56 \cdot 0,159 \cdot$$

$$\sqrt{\frac{12}{0,2388}} = 23,1 \text{ g/sek.}$$

Jeżeli zaś mamy np.  $p_2 = 11,88 \text{ ata}$ , obliczamy  $G$  ze wzoru (21):

$$G = 120 \cdot d^2 \sqrt{\frac{p_1 - p_2}{v_1}} = 120 \cdot 0,45^2 \cdot$$

$$\sqrt{\frac{0,12}{0,2388}} = 17,21 \text{ kg/godz} = 4,78 \text{ g/sek.}$$

Według wzoru (13) otrzymujemy  $G$ , postępując się  $\kappa$  z krzywej Bendemanna:

$$G = 0,159 \cdot 4,23 \sqrt{\frac{0,12}{0,2388}} = 4,765 \text{ g/sec;}$$

dokładność obliczenia według wzoru (21):

$$\frac{4,78 - 4,765}{4,765} \cdot 100 = 0,315\%$$

c) Pomiary  $p_1$

Spółczynnik  $\kappa$  oblicza się ze wzoru (14) przy założeniu, że para dopływa do otworu z prędkością  $c_1 = 0$ . Jeżeli z tego założyć nie możemy, wtenczas\*):

$$\kappa' = \sqrt{gk \left( \frac{k-1}{k^2} \cdot \frac{c_1^2}{gP_1 v_1} + \frac{2}{k+1} \right)^{\frac{k+1}{k-1}}}$$

Obliczanie  $\kappa'$  według wzoru (22) jest uciążliwe z tego powodu, że  $\kappa'$  jest funkcją  $c_1$ . Poza tem wiemy, że  $\kappa$ , otrzymane z doświadczeń przy założeniu  $c_1 = 0$ , różni się nieco od  $\kappa$  teoretycznego. Z tego możemy wnioskować, że  $\kappa'$  otrzymane z doświadczeń zapewne również będzie się nieco różniło od teoretycznego. Badania nad  $\kappa'$ , o ile jestem poinformowany, nie zostały ogłoszo-

ne w literaturze, musimy więc przy dokładnych pomiarach opierać się na badaniach Bendemanna nad  $\kappa$ . Z przyrządu, którym się on posługiwał, można wnioskować, że dopływowa prędkość pary  $c_1$ , jeżeli nie była równa zeru, to w każdym razie bardzo znacznie zmniejszona. W praktyce nie zawsze udaje się nam zmniejszyć  $c_1$  do wartości, odpowiadającej doświadczeniom Bendemanna, tembardziej, że to jest związane z dużymi stratami, których należy unikać. Zamiast tego, żeby w pomiarach gdzie  $c_1 \leq 0$ , obliczać ilość pary  $G'$  zapomocą dokładnego lecz uciążliwego wzoru:

$$\frac{G'}{F} = \sqrt{gk \left( \frac{k-1}{k^2} \cdot \frac{c_1^2}{gP_1 v_1} + \frac{2}{k+1} \right)^{\frac{k+1}{k-1}} \sqrt{\frac{p_1}{v_1}}}$$

możemy obliczyć  $G$  ze wzoru przybliżonego:

$$\frac{G}{F} = \sqrt{g \cdot k \cdot \left( \frac{2}{k+1} \right)^{\frac{k+1}{k-1}} \cdot \sqrt{\frac{p_1 + \frac{\gamma \cdot c_1^2}{2g}}{v_1}}}$$

w którym pierwszy pierwiastek jest dobrze nam znany spółczynnik  $\kappa$ . Drugi pierwiastek zawiera w liczniku ogólne ciśnienie pary:

$$P_{og} = p_1 + \frac{\gamma \cdot c_1^2}{2g}$$

gdzie  $p_1$  jest statyczne ciśnienie pary i

$$\frac{\gamma \cdot c_1^2}{2g} \text{ dynamiczne ciśnienie pary przed otworem.}$$

Ogólne ciśnienie  $p_{og}$  możemy łatwo zmierzyć zapomocą zgiętej rurki Pitot'a, wprowadzonej do rurociągu przed otworem:

Zbadamy teraz dokładność wzoru (24). W tym celu obliczamy:

$$\alpha = \frac{G'}{G} = \frac{\text{dokładna ilość pary według wzoru (23)}}{\text{przybliżona ilość pary według wzoru (24)}}$$

$$\alpha = \frac{\sqrt{gk} \cdot \sqrt{\left( \frac{k-1}{k^2} \cdot \frac{c_1^2}{\gamma \cdot p_1 v_1} + \frac{2}{k+1} \right)^{\frac{k+1}{k-1}} \cdot \sqrt{\frac{p_1}{v_1}}}{\sqrt{gk} \cdot \sqrt{\left( \frac{2}{k+1} \right)^{\frac{k+1}{k-1}} \cdot \sqrt{p + \frac{\gamma \cdot c_1^2}{2g}}}}$$

Po pewnych działaniach otrzymujemy:

$$\alpha = \frac{(ab+1)^{\frac{1}{2d}}}{\sqrt{b+1}}$$

\*) Schüle, Technische Thermodynamik I, str. 309.

$$\text{gdzie: } a = \frac{k^2 - 1}{k^2}$$

$$b = \frac{c_1^2}{2 g p_1 v_1}$$

$$d = \frac{k-1}{k+1}$$

$$\text{Dokładność: } \varepsilon = \left(1 - \frac{1}{\alpha}\right) \cdot 100$$

Sprawdzimy dokładność na przykładach\*).

a). Para przegrzana:  $p_1 = 10 \text{ ata}$ ,  $t_1 = 250^\circ \text{ C}$ ,  
 $v_1 = 0,23758 \text{ m}^3/\text{kg}$ .

$$\begin{array}{ll} c_1 = 50 \text{ m/sec} & \varepsilon = 0,423\% \text{ **) } \\ = 100 \text{ m/sec} & = 2,25\% \\ = 150 \text{ m/sec} & = 5,16\% \\ = 200 \text{ m/sec} & = 8,66\% \end{array}$$

b). Para nasycona:  $p_1 = 10 \text{ ata}$ ,  $x = 1$ ,  
 $v_1 = 0,1985 \text{ m}^3/\text{kg}$ .

$$\begin{array}{ll} c_1 = 50 \text{ m/sec} & \varepsilon = 0,81\% \\ = 100 \text{ m/sec} & = 3,20\% \\ = 150 \text{ m/sec} & = 7,10\% \\ = 200 \text{ m/sec} & = 16,1\% \end{array}$$

Biorąc pod uwagę, że rurowości parowe otrzymują takie wymiary, aby prędkość przepływającej pary nie przekraczała  $c_1 = 50 \text{ m/sec}$ , dochodzimy do rezultatu, że wzór (24) daje zupełnie dostatecznie dokładne wyniki, przyczem dokładności tego wzoru leży w granicach dokładności samych pomiarów.

Zbadamy jeszcze dokładność wzoru (13) t. j. przy uwzględnieniu tylko statycznego ciśnienia  $p_1$  pary w rurowości przed otworami. Obliczymy stosunek:

$$\alpha_i = \frac{G^1}{G_i} = \frac{\text{dokładna ilość pary według wzoru (23)}}{\text{przybliżona ilość pary według wzoru (13)}}$$

$$\alpha_i = \frac{\sqrt{gk} \cdot \sqrt{\left(\frac{k-1}{k^2} \cdot \frac{c_1^2}{g \cdot p_1 \cdot v_1} + \frac{2}{k+1}\right)^{k+1}} \cdot \sqrt{\frac{p_1}{v_1}}}{\sqrt{gk} \cdot \sqrt{\left(\frac{2}{k+1}\right)^{k+1}} \cdot \sqrt{\frac{p_1}{v_1}}}$$

$$\alpha_i = (a \cdot b + 1) \frac{1}{2d}$$

gdzie:

$$a = \frac{k^2 - 1}{k^2}$$

$$b = \frac{c_1^2}{2 g p_1 v_1}$$

$$d = \frac{k-1}{k+1}$$

$$\varepsilon_i = \left(1 - \frac{1}{\alpha_i}\right) \cdot 100$$

a) para przegrzana:  $p_1 = 10 \text{ ata}$ ,  $t_1 = 250^\circ \text{ C}$   
 $v_1 = 0,23758 \text{ m}^3/\text{kg}$

$$\begin{array}{ll} c_1 = 50 \text{ m/sec} & \varepsilon_i = 0,686\% \\ = 100 \text{ m/sec} & = 3,29\% \\ = 150 \text{ m/sec} & = 7,37\% \\ = 200 \text{ m/sec} & = 12,36\% \end{array}$$

b) para nasycona:  $x = 1$ ,  $p_1 = 10 \text{ ata}$ ,  
 $v_1 = 0,1985 \text{ m}^3/\text{kg}$

$$\begin{array}{ll} c_1 = 50 \text{ m/sec} & \varepsilon_i = 1,13\% \\ = 100 \text{ m/sec} & = 4,425\% \\ = 150 \text{ m/sec} & = 9,7\% \\ = 200 \text{ m/sec} & = 16,1\% \end{array}$$

Porównując  $\varepsilon$  z  $\varepsilon_i$  widzimy, że wzór (13) daje również dokładne rezultaty i w pewnych przypadkach dokładność tego wzoru jest zupełnie zadawalająca, szczególnie wtedy, gdy wbudowanie rurki Pitot'a przedstawiałoby pewne trudności.

Przechodząc do samych pomiarów, należy zauważyć, że rurkę Pitot'a należy wprowadzić do rurowości w takiej odległości od otworu, aby para bez wirów wpływała do otworu. Ta sama uwaga odnosi się do miejsca mierzenia  $t_1$ . Ciśnienie  $p_2$ , do którego para się rozpręża po wypływie z otworu, jest statycznym ciśnieniem w przekroju wylotowym. W tym miejscu mierzenie jest bardzo utrudnione, wobec tego mierzymy go tam, gdzie strumień pary jeszcze nie zapełnił całkowicie przekroju rurowości.

Aby przez wbudowanie przyrządów do mierzenia pary nie spowodować dużych strat w parze, należy ograniczyć się do małych różnic ciśnień  $p_1 - p_2$ . Przeto jesteśmy zmuszeni do stosowania bardzo czułych przyrządów mierniczych. Dobre usługi okazuje rtęciowy manometr różnicowy. Przenoszenie ciśnienia odbywa się przez słupy wody. Należy uważać, aby przed i za organem mierniczym nie było zmian kierunku przepływu pary, nie było zwężeń lub rozszerzeń w rurowości, ponieważ w tych przypadkach powstają wiry, wpływające szkodliwie na rezultat doświadczeń. Aby wpływ słupków wody na różnicę odczytywanych ciśnień nie podlegał wahaniom, ciśnienie pary przeprowadzamy przez dwie kondensacyjne komory. Te są tak urządzone, że poziom wody ustala się w nich na różnych wysokościach. O ile w jednej z tych komór skropli się więcej pary, to woda może przez 12 mm szerokie rurki w świetle spłynąć z powrotem do rurowości. Rurki, prowadzące do manometru rtęciowego, mogą być węższe ( $ak.8 \text{ mm}$ ).

Na poziomie rtęci z lewej strony działa ciśnienie

$$p_1 + h_{1w}$$

na poziom rtęci  $n - n$  z prawej strony działa

$$p_2 + h_{2w} + h_{Hg}$$

\*) Te i dalsze przykłady zostały przeliczone przez p. inż. St. Jugendfeina.

\*\*) t. zn. że dokładny wzór daje większą ilość pary niż przybliżony o 0,423%

gdzie:

$p_1$  i  $p_2$  ciśnienie pary,

$h_{1w}$  i  $h_{2w}$  ciśnienie słupa wody

$h_{Hg}$  " " rtęci.

Ciśnienia powyższe znajdują się w równowadze:

$$p_1 + h_{1w} = p_2 + h_{2w} + h_{Hg}$$

albo

$$p_1 - p_2 = h_{Hg} - (h_{1w} - h_{2w}) = h_{Hg} - h_w$$

przyczem  $p_1 - p_2$  jest różnica ciśnień mierzona w  $mm$  słupa wodnego. Aby z wskazań w  $mm$   $H_g$  przejść na wskazania  $kg/cm^2$  należy wskazania  $p_1 - p_2$ , mierzone w  $mm$   $H_2O$ , podzielić przez 10000; otrzymujemy wtedy:

$$(p_1 - p_2)_w \text{ kg/cm}^2 = \frac{h (\gamma_{Hg} - \gamma_{H_2O})}{10000}$$

$$= \frac{h}{10000 : (\gamma_{Hg} - \gamma_{H_2O})} = \frac{h}{H_t}$$

gdzie

$$H_t = \frac{10000}{\gamma_{Hg} - \gamma_{H_2O}}$$

Należy jeszcze wprowadzić poprawkę temperatury, którą odczytujemy z tabeli liczbowej 6.

Tabela liczbową 6.

Temperatura w skali pomiarów.	$\gamma_{Hg}$	$\gamma_{H_2O}$	$H_t = \frac{10000}{\gamma_{Hg} - \gamma_{H_2O}}$
0°	13,595	0,99987	794,0 mm
4°	13,596	1,00000	794,5 "
10°	13,571	0,99973	795,5 "
20°	13,546	0,99823	796,9 "
30°	13,522	0,99567	798,3 "
40°	13,497	0,99224	799,7 "
50°	13,473	0,98807	801,0 "

Aby więc otrzymać różnicę ciśnień  $p_1 - p_2$  w  $kg/cm^2$ , albo w  $at$ , mierzymy różnicę poziomów rtęciowego manometru w  $mm$  i dzielimy ją przez odpowiednią liczbę  $H$  wziętą z tabeli liczbowej 6.

Pomiary ilości pary zapomocą otworów sprowadzamy do tego, że obliczenia  $G$  musimy znać dokładnie wielkość  $\alpha$ , która była wielkością stałą dla stosunku ciśnień  $\frac{p_2}{p_1} = 0$  do 0,57.

O ileby przy naszych badaniach tak duży spadek ciśnień nie był dopuszczalny, mogliśmy obliczyć  $G$ , posługując się krzywą Bendemanna do określenia zmiennego  $\alpha$ , albo jego empirycznym wzorem. Krzywa ta jest zależna, (choć w niedużym stopniu) od formy otworu oraz

w znacznej mierze od dokładności przyrządu, służącego do mierzenia różnicy ciśnień. Mała niedokładność w określeniu  $p_1 - p_2$  odbija się bardzo znacznie na określeniu  $\alpha$  krzywej Bendemanna i znacznie zmniejsza dokładność pomiaru.

Dokładność pomiarów pary zapomocą otworów można ocenić na  $\pm 1\%$ .

W przypadkach, jeżeli zachodzi potrzeba bardzo dokładnego określenia  $G$ , musimy się uciekać do innego sposobu który nie wymaga posługiwania się krzywą Bendemanna i który daje dobre rezultaty przy stosunkowo niedużej różnicy ciśnień  $p_1 - p_2$ . Sposób taki jest oparty na stosowaniu dysz do pomiarów ilości pary t. j. przyrządów z rozszerzającymi się ściankami. Posługując się więc dyszami, można osiągnąć maximum ilości przepływającej pary (innymi słowami osiągnąć stałe  $\alpha$ ) przy znacznie mniejszym spadku ciśnień, niż w przypadku stosowania otworów.

### III. Dysze.

Przy używaniu otworów do mierzenia ilości wypływającej pary stosowaliśmy wzór: (13)

$$G_m = \alpha \cdot F_m \sqrt{\frac{p_1}{v_1}} \quad (13)$$

przyczem  $G_m$  było maximum ilości pary, jeżeli ciśnienie  $p_m$  w przekroju wylotowym  $F_m$  równało się ciśnieniu krytycznemu  $p_s$ , gdzie

$$p_s = 0,5774 p_1 \text{ dla pary nasyconej suchej.}$$

$$p_s = 0,5454 p_1 \text{ dla pary przegrzanej.}$$

Ze zmniejszeniem się stopnia przegrzania współczynnik 0,5454 wzrasta i zbliża się do 0,5774.

Jeżeli  $p_m > p_s$ , to ilość pary  $G_0$  wypływającej z otworu jest

$$G_0 < G_m.$$

przyczem

$$G_0 = G_m \xi, \quad (28)$$

gdzie

$$\xi = \sqrt{1 - \left( \frac{\beta - \beta_s}{1 - \beta_s} \right)^2} \quad (17)$$

Jeżeli para wypływa z dyszy, przyczem stosunek przekroju wypływowego do przekroju największego oznaczymy przez

$$q = \frac{F_2}{F_m} \quad (29)$$

to przy  $\beta > \beta_s$  przez dyszę wypłynie więcej pary, niżby według wzorów (28) i (17) wypadało.  $\beta$  wzrasta odpowiednio z wrostem  $q$  (rys. 16).

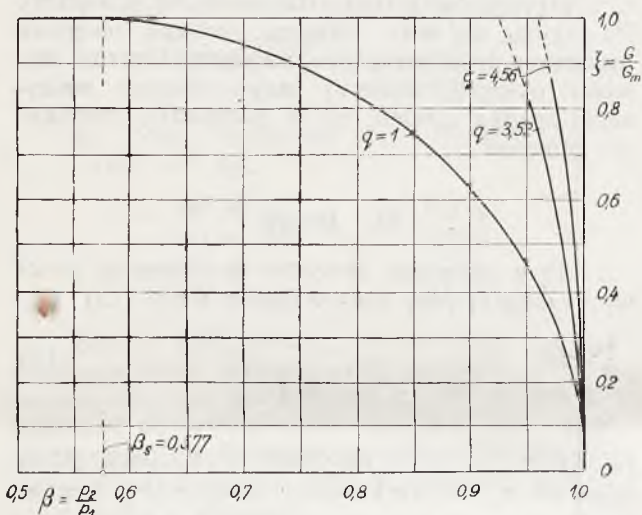
Wzór (28) możemy napisać jeszcze w formie:

$$G_0 = G_m \cdot \xi = \xi F_m \kappa \cdot \sqrt{\frac{p_1}{v_1}} \quad (30)$$

Jeżeli porównamy dyszę z otworem, przy-  
czem przekrój wylotowy dyszy  $F_2$  będzie równał  
się przekrowi otworu  $F_2$ , wtedy przez taki  
otwór przepłynie ilość pary (analogicznie do (30))

$$G = \xi \cdot F_2 \kappa \sqrt{\frac{p_1}{v_1}} \quad (31)$$

Ta sama ilość pary przepłynie przez dy-  
szę o przekroju  $F_m$  i  $F_2$



Rys. 16.

Z wzoru (13) mamy:

$$\kappa \cdot \sqrt{\frac{p_1}{v_1}} = \frac{G_m}{F_m}$$

Otrzymujemy ilość pary przepływającej  
przez dyszę:

$$G = \xi F_2 \cdot \frac{G_m}{F_m} \quad (32)$$

albo \*),

$$G = \xi \cdot q \cdot G_m$$

Należy wprowadzić do wzoru (32) jeszcze  
współczynnik  $\mu$ , uwzględniający straty przepływo-  
we, gdzie  $\mu$ , na zasadzie doświadczeń *Stodoli*,  
*Büchnera*, *Gutermutha* i *Bendemanna* można  
przyjąć z dostateczną dokładnością:

$$\mu = \sqrt{\frac{1}{q}}$$

dla dysz o stosunku przekrojów

$$\frac{F_2}{F_m} = 1 \text{ do } 10,$$

Wtedy:

$$G = G_m \sqrt{q} \cdot \xi$$

albo

$$\frac{G}{G_m} = \sqrt{q \left[ 1 - \left( \frac{\beta - \beta_s}{1 - \beta_s} \right)^2 \right]} \quad (34)$$

Przez analogię dyszy z otworem piszemy:

$$\frac{G}{G_m} = \sqrt{1 - \left( \frac{\beta_m - \beta_s}{1 - \beta_s} \right)^2}$$

gdzie

$$\beta_m = \frac{p_m}{p_1} = \frac{\text{ciśnienie w najwęższym przekroju}}{\text{ciśnienie wlotowe}}$$

wtedy:

$$\sqrt{q \left[ 1 - \left( \frac{\beta - \beta_s}{1 - \beta_s} \right)^2 \right]} = \sqrt{1 - \left( \frac{\beta_m - \beta_s}{1 - \beta_s} \right)^2}$$

albo

$$\beta_m = \beta_s + \sqrt{q (\beta - \beta_s)^2 - (q - 1)(1 - \beta_s)^2}$$

Jeżeli:

$$\beta_m = \beta_s$$

wtedy

$$\frac{G}{G_m} = 1$$

co następuje przy

$$\beta = \beta_s + (1 - \beta_s) \sqrt{\frac{q - 1}{q}} = \beta_1 \quad (35)$$

Wzór (34) jest ważny w granicach

$$\beta = \beta_1 \text{ do } \beta = 1$$

dla  $\beta_s = 0,545$ , otrzymujemy:

$$\frac{G}{G_m} = 2,2 \sqrt{q (\beta - 0,09) (1 - \beta)}$$

i

$$\beta_1 = 0,545 + 0,455 \sqrt{\frac{q - 1}{q}}$$

Ten wzór *Fornera* został w ostatnich cza-  
sach zbadany przez *Josse'go*\*, który potwierdził  
jego prawidłowość.

\*) *Forner*, Z. 1919, str. 72.

\*) *Josse*, Z. 1927, str. 379.

Te równania opiewają, że jeżeli przy zastosowaniu dysz stosunek ciśnień  $\beta \leq \beta_1$ , to przez dyszę przepływa największa możliwa ilość pary.

Ściśle biorąc  $\mu$  i  $\beta$  zależą nie tylko od  $q$  lecz również od rozmiarów dyszy, wewnętrznej powierzchni przelotu dyszy i t. p.

Spółczynnik  $\chi$  według Fornera możemy obliczać według wzoru:

$$\chi = 198,5 + 1,5p_1 \dots (38)$$

który możemy stosować dla pary w granicach:

$$p_1 = \text{od } 1 \text{ do } 4 \text{ ata}$$

$$t_1 = \text{od } 180 \text{ do } 240^\circ \text{ C.}$$

W najwęższym przekroju powinna przytem ustalić się prędkość dźwięku. Forner określił współczynnik  $\chi$  w granicach 199 do 204, wtedy gdy Josse, który postawił sobie za zadanie sprawdzenie pomiarów Fornera, znalazł średnią wartość dla  $\chi = 207,2$  z uchyleniami  $\pm 0,5\%$ . Josse wykonał doświadczenia nad trzema dyszami  $d_m = 84, 160$  i  $216 \text{ mm}$  średnicy ze stożkiem rozwarcia  $10\%$  oraz odpowiednio

$$q = 4 \text{ i } 4,6$$

$$p_1 = 1,3 \text{ do } 3,1 \text{ at.}$$

Doświadczenia wykonano z parą przegrzaną.

Wspomniane doświadczenia potwierdzają bardzo znaczną dokładność pomiarów ilości pary za pomocą dysz, która dochodzi według Josse'go do  $\pm 0,5\%$ .

Przekrój  $F_m$  dla danej ilości pary  $G_m$  obliczamy według wzoru:

$$G_m = 0,5 F_m p_1 (1,158 + 0,01 p_1 - 0,001 t_1) \quad (39)$$

w  $\text{kg/godz.}$ , gdzie  $F_m$  mierzymy w  $\text{mm}^2$  oraz  $p_1$  w  $\text{kg/cm}^2$ . Dla celów praktycznych możemy wyraz

$$a = 0,5 (1,158 + 0,01 p_1 - 0,001 t_1)$$

obliczyć dla różnych ciśnień i temperatur pary l rezultat ująć w formie wykresu (rys. 17). W tym wykresie podajemy na osi odciętych wielkości  $p_1$ , na osi rzędnych wielkości

$$\frac{G_m}{p_1 F_m} = \frac{\text{kg}}{\text{godz. ata. mm}^2}$$

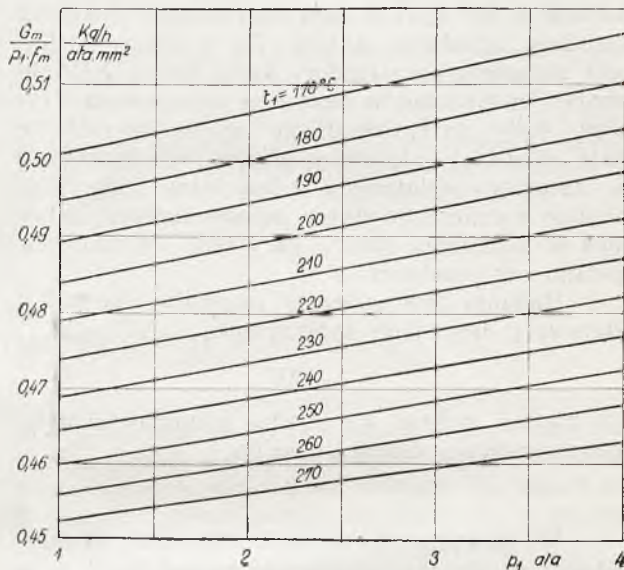
które są podane w zależności od parametru  $t_1$ . Dla obliczenia ilości pary  $\text{kg/godz}$  należy liczbę pobraną z tego wykresu dla danych warunków pomnożyć tylko przez  $p_1$  w  $\text{ata}$  i  $F_m$  w  $\text{mm}^2$ .

Stosowanie dysz do pomiaru ilości pary ma tę dogodność, że jesteśmy niezależni od przebiegu krzywej  $\chi$  nawet dla małych różnic ciśnień. Wzór (37) rozwiązany względem  $q$

$$q = \frac{1}{1 - \left( \frac{\beta - 0,545}{0,455} \right)^2}$$

daje nam możliwość dla dopuszczalnego stosunku ciśnień obliczyć stosunek przekrojów  $q = F_m : F_2$  oraz z równania (39) obliczyć dla danej ilości i stanu pary przekrój  $F_m$  dyszy i następnie ją skonstruować.

Forner wzorcował swe dysze zapomocą przyboru\*), w którym starał się prędkość dółtową  $c_1$  zniszczyć, aby móc z możliwie największą dokładnością zastosować dla tego przypadku wyprowadzony wzór. Jeżeli przy pomiarach z pewnych przyczyn nie będziemy mogli



Rys. 17.

pójść w ślady Fornera bądź to z powodu niedopuszczalności niszczenia części energii pary bądź to z powodu braku odpowiednich przyrządów, możemy użyć wzór (24), mierząc wyżej opisanym sposobem zapomocą zgiętej rurki (rurki Pitot'a) ogólne ciśnienie  $p_{og}$  zamiast statycznego  $p_1$

W końcu chciałbym jeszcze zwrócić uwagę na pomiary ilości pary, zużywanej w turbinie, posługując się wyłącznie dyszami l stopnia. Znana jest właściwość turbiny, że w stosunku do ilości przepływającej pary turbina zachowuje się podobnie jak dysza\*):

$$G = C_1 \sqrt{\frac{p_1}{v_1}}$$

gdzie  $p_1$  i  $v_1$  są wielkościami charakteryzującymi stan pary między zaworem dławiącym i pierw-

\*) Z. 1919; str. 76.

\*) Deinlein, Zur Dampfturbinentheorie, str. 93.

szym stopniem kierownic, przyczem stała turbiny  $c_1$  jest niezależna od:

- 1) obciążenia,
- 2) ilości obrotów
- 3) wewnętrznego współczynnika sprawności
- 4) jakości, pary, zasilającej turbinę.

Stała turbiny  $C_1$ , określona zapomocą jednego doświadczenia, daje nam możność na zasadzie jakiegobądź stanu pary za zaworem regulacyjnym  $p_1, v_1$ , określić odpowiednią ilość zużytej pary. Jeżeli natomiast turbina posiada jako pierwszy stopień dysze (turbiny z I stopniem Curtisa, Elektra, Laval), w których para, rozprężając się, przekracza stosunek krytyczny, wtedy możemy te dysze użyć do określenia zużytej ilości pary, stosując równanie (13). Pomiar, wykonany w ten sposób daje dostatecznie dokładne rezultaty. Badania autora (7 i 8 lutego 1928), nad zużyciem pary turbiny firmy Melms & Pfenniger, ustawionej w zakładzie zdrojowym Krynicy, były przeprowadzone w ten sposób, że parę mierzono zapomocą otworu, wbudowanego w rurociąg wylotowy i jednocześnie przez dokładnie wymierzone dysze samej turbiny. Różnica w określeniu ilości pary temi dwoma sposobami nie przekraczała 1%.

Badania *Schindlera*\*) określiły dla turbin Pierwszej Brneńskiej współczynnik

$$\lambda = 0,208$$

co bardzo dobrze się zgadza z niedawno ustalonym współczynnikiem Josse'go.

\* \* \*

W powyższym artykule starałem się ująć całokształt obecnych doświadczeń nad problemem stosowania kryz spiętrzających, otworów i dysz do pomiarów ilości pary wodnej. Dla celów pomiarowych, gdzie jest dopuszczalna dokładność pomiarów do  $\pm 2\%$ , stosujemy kryzy spiętrzające, które mają tę niedogodność, że wymagają dokładnego wzorcowania. O ile jest wymagana większa dokładność w pomiarach (około  $\pm 1\%$ ) stosujemy otwory z zaokrąglonymi brzegami wlotowymi. Do korzystania z tych przyrządów musimy znać tylko jeden współczynnik  $\lambda$ , który jest wielkością stałą o ile  $p_2 : p_1 \leq 0,545$ , wzgl. 0,574. Jeżeli tak duża różnica ciśnień jest niedopuszczalna, to dla określenia ilości pary jest nam konieczna znajomość przebiegu  $\lambda$  jako funkcji

$p_2 : p_1$ , co wnosi pewną niepewność w obliczeniu. W celu uniknięcia tego, stosujemy dysze, które dają możność dla stosunkowo małych różnic ciśnień posługiwanie się stałym współczynnikiem  $\lambda$ . Podane są wzory, którymi możemy posługiwać się w celu określenia stosunku przekrojów  $q = F_m : F_2$  dla danej różnicy ciśnień.

W końcu wskazałem na możność określenia ilości pary posługując się wbudowanymi w turbiny dyszami pierwszego stopnia.

### Literatura.

- Arlt*, Messung grosser Luftmengen mittels mehrerer Düsen, Z. 1912, str. 1588 Forschungsarbeiten № 115.
- Bachman*, Beitrag zur Messung von Luftmengen. Dissert., 1912, Darmstadt.
- Bäckström*, Grundlegende Regeln für die Dampfmessung nach der Sauflanschmethode (w języku szwedzkim)
- Bendeman*, Über den Ausfluss des Wasserdampfes, Forschungsarbeiten № 49.
- Deinlein*, Zur Dampfturbinentheorie, Dissert., 1909, München.
- Förner*, Messung des Dampfverbrauches mittels stark erweiterten Messdüsen, Z. 1919, str. 74.
- E. Höhn*, Berichte des Schweizer. Vereines von Dampfkesselbesitzern, 1920.
- Jordan*, Mitteilungen der Wärmestelle, № 76.
- Kröner*, Versuche über Strömungen in stark erweiterten Kanälen, Forschungsarbeiten № 222.
- Müller*, Messungen von Gasmengen mit der Drosselscheibe. Forschungsarbeiten № 49.
- Pflaum*, Beitrag zur Mengenmessung strömenden Dampfes mittels Stauringen, Forschungsarbeiten № 298.
- Regeln* für Leistungsversuche an Ventilatoren und Kompressoren, 1925.
- Schüle*, Technische Thermodynamik
- Schindler*, Eine einfache Methode zur Bestimmung des Dampfverbrauches von Dampfturbinen, Z. f. d. g. T. 1911, str. 356.
- Schultze*, Betriebsmässige Dampfverbrauchskontrolle an Turbinen, Z. f. d. g. T. 1912, str. 442.
- Seufert*, Über Dampfmessung. Hauptstelle für Wärmewirtschaft. V. d. I. 1920.
- B. B. C. Mitteilungen* 1926.
- Z. d. V. d. I.* 1928.
- Z. f. d. g. T.* 1919.

\*) Z. T. 1911, str. 357

## KRONIKA TECHNICZNA.

### 1. WYBUCH ZBIORNIKA W KIELCACH.

Dnia 29 sierpnia b. r. o godz. 10 przed południem eksplodował znajdujący się pod ciśnieniem zbiornik ustawiony w pracowni farbiarskiej Szymona Strawczyńskiego w Kielcach, przy ul. św. Aleksandra 4, powodując śmierć żony właściciela pracowni i raniąc niebezpiecznie chłopca,

który zmarł w kilka godzin po wypadku. Lekko raniony został również sam właściciel. Dokładny opis eksplozji i określenie przypuszczalnej przyczyny wybuchu podamy w jednym z najbliższych zeszytów „Techniki Ciepłej”. Tu zaznaczymy, że zbiornik o którym mowa nie znajdował się pod dozorem Stowarzyszenia Dozoru Kociołków.

R. M.

## KOMUNIKATY STOWARZYSZENIA DOZORU KOTŁÓW W WARSZAWIE.

### ZMIANA § 45 STATUTU STOWARZYSZENIA DOZORU KOTŁÓW W WARSZAWIE.

Na mocy pisma Ministra Przemysłu i Handlu z dnia 11 września 1928 r. Nr. PA. 2191., została zatwierdzona zmiana statutu Stowarzyszenia w ten sposób, że przewidziane w § 45 statutu fundusze Stowarzyszenia tworzą się

także z wpisowego od nowozgłoszonych kotłówek. Paragraf 45 statutu otrzymuje zatem brzmienie następujące:

„Fundusze Stowarzyszenia tworzą się z opłat członkowskich, wpisowego od nowozgłoszonych kotłówek, opłat za specjalne usługi personelu technicznego Stowarzyszenia, z ofiar i innych wpływów przypadkowych. Fundusze te przeznaczone są na pokrycie wydatków, związanych z działalnością Stowarzyszenia“.

## LISTY DO REDAKCJI.

### W SPRAWIE ZAWORÓW PAROWYCH POMIĘDZY KOTŁEM A PRZEGRZEWACZEM.

Szanowny Panie Redaktorze!

W przepisach kotłowych z dn. 8 listopada 1921 r. istnieje § 11, który w punkcie 1 przewiduje konieczność zaworu lub zasuwy parowej, umieszczonej jaknajbliżej kotła. Nakaz zupełnie zrozumiały. Redakcja jego jest bardzo dobra, gdyż pozwala organom Stow. Dozoru Kociołków każdorazowo uwzględnić techniczne warunki pracy określonego typu kotła przy komentowaniu pojęcia „jaknajbliżej kotła“.

Projekt nowych przepisów odbiera możliwość zastosowania tego rozumnego wymagania do warunków pracy nowoczesnych większych jednostek kotłowych i wskazuje wyraźnie, że zawór lub zasuwa parowa musi być umieszczona bezpośrednio na króćcu zbiornika pary kotła. Kierunek, w jakim idzie nowy projekt przepisów, jest zupełnie jasny i jakkolwiek projekt nie jest zatwierdzony jeszcze, wszelka samodzielność organów dozoru kotłówek w tym zakresie jest już uniemożliwiona.

Stawiam sprawę wyraźnie: przedmiotem sporu są kotły, z których cała para nie może być pobierana inaczej, jak przez przegrzewacz. W kotłach takich zawór lub zasuwa parowa powinna być umieszczona bezpośrednio za przegrzewaczem i do tego jedynego przyrządu, odcinającego parę z kotła, należałoby się ograniczyć. Warunki obsługi, bezpieczeństwo przegrzewacza, unikanie zbytecznych strat dławienia wymagają takiego układu.

Nie znam ani jednego motywu, któryby usprawiedliwiał w takim typie kotła potrzebę zaworu pomiędzy zbiornikiem pary i przegrzewaczem. Chodzą natomiast

wieści, że w analogicznych wypadkach organy Dozoru Kociołków, skrepowane kierunkiem nowych przepisów, wskazują zainteresowanym właścicielom kotłówek w jaki sposób zabezpieczyć zbyteczne zawory, aby nigdy nie mogły być zamykane.

Jako zarządzający kotłownią, w której nowoustawiony kocioł dojrzał do tego sporu chcę wiedzieć to, do czego nie mogłem dojść drogą wywiadów i rozważań własnych, t. j. czy zawór na króćcu zbiornika pary w kotle, z którego cała para pobierana może być wyłącznie przez przegrzewacz, w dodatku przez przegrzewacz, nie nad ani poza rurami, lecz pomiędzy rzędami rur wodnych nad palnikiem, czy zawór taki jest dla dobra kotła, czy też z jego szkodą.

Przepisy kotłowe redagowane są niewątpliwie przy bezpośrednim udziale Stowarzyszenia Dozoru Kociołków. „Technika Ciepła“, jako organ tego Stowarzyszenia najlepiej może wyjaśnić intencje i motywy przepisu o zaworach przy kotłach wzmiankowanego typu.

Należy unikać fałszywego kompromisu: zawór założyć, ponieważ tego żądają przepisy, zawór nieszkodliwić, ponieważ tego wymagają techniczne warunki dobrej i bezpiecznej pracy kotła.

Przy takim kompromisie właściciele kotłówek ponoszą zbyteczny wydatek na zawory, dla wysokiej prężności pary dość kosztowne, niepotrzebnie mają stałe straty przez dławienie pary, no i autorytet przepisów nic na tem nie zyskuje.

Łączę wyrazy głębokiego szacunku z jakim pozostaję

A. Wysokiński, inż.

# FABRYKA PALENISK MECHANICZNYCH

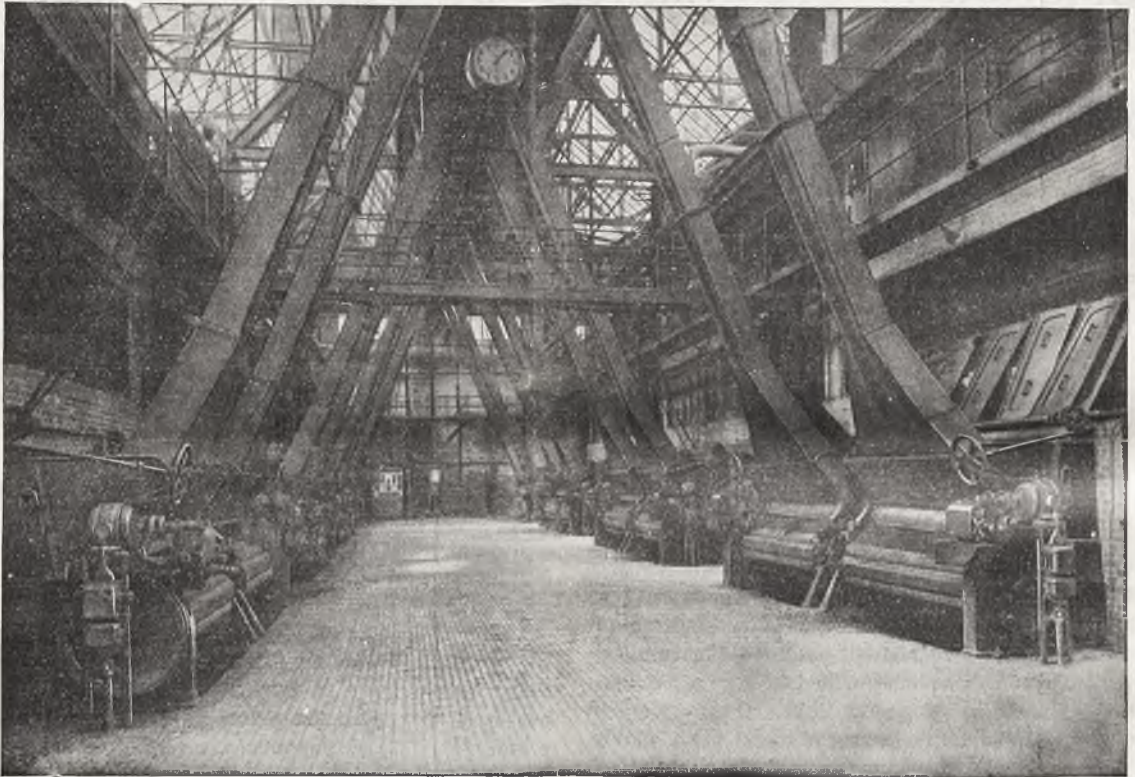
Tow. z ogr. odp.

(WANDERROST - WERKE G. m. b. H.)

MIKOŁÓW, Polski G. Śląsk

Specjalna Fabryka Rusztów Mechanicznych sys. „IDEAL“

Wykonano około 1500 rusztów mechanicznych syst. „IDEAL“.



Rusztzy mechaniczne syst. „IDEAL“ W PAŃSTWOWEJ FABRYCE ZWIĄZKÓW AZOTOWYCH W CHORZOWIE.

WYROBY FABRYKI:

**1 RUSZTY MECHANICZNE** syst. „IDEAL“ z podwiewem i bez podwiewu.

a) AMERYKAŃSKIE wiszące sklepienia paleniskowe.

2. PRZEWODY rurowe wysokiego i niskiego ciśnienia.

3. URZĄDZENIA DO OCZYSZCZANIA WODY patentowane do wszelkich celów.

4. Odlewy żeliwne maszynowo i ręcznie formowane, od najmniejszych do 5000 kg wagi, surowe i obrabiane.

a) Przewody rurowe żeliwne do 1200 mm średnicy.

GENERALNY PRZEDSTAWICIEL Inż. WŁ. BUDZIŃSKI WARSZAWA, Smolna 25, Tel. 39-32.